



TU Berlin Fakultät IV  
Institut für Telekommunikationssysteme  
Fachgebiet Nachrichtenübertragung  
Praktikum Nachrichtenübertragung

# **Praktikum 06**

## **Digitale Übertragungstechnik: Digitale Empfänger**

Dirk Babendererde (321 836)  
Thomas Kapa (325 219)

9. Juli 2012

Gruppe:

Betreuer: Lieven Lange

# Inhaltsverzeichnis

<b>1</b>	<b>Vorbereitung</b>	<b>1</b>
<b>2</b>	<b>Labordurchführung</b>	<b>2</b>
2.1	Encoderkennlinie . . . . .	2
<b>3</b>	<b>Auswertung &amp; Theorie</b>	<b>3</b>
3.1	Wasserfallkurve . . . . .	3
<b>4</b>	<b>Zusammenfassung</b>	<b>4</b>

## 1 Vorbereitung

In diesem Praktikum wird die sogenannte Wasserfallkurve betrachtet. Dabei wird die Bitfehlerwahrscheinlichkeit über dem SNR geplottet. Bei der Übertragung von Signalen über einen nicht idealen Kanal wird das Signal mit Rauschen überlagert. Diese Tatsache kann auf der Empfängerseite zu dem Problem führen, dass der Entscheider sich statt einer 0 für eine 1, oder umgekehrt, entscheidet. Um die Wasserfallkurve zu ermitteln, wird die Intensität des Rauschens variiert und die Bitfehlerwahrscheinlichkeit gemessen. Da das SNR mit Hilfe des Logarithmus berechnet wird, wird ein Ansteigen hin zu den negativen SNR Werten (also da wo die Rauschenleistung größer ist als die Signalleistung, Faktor kleiner null und damit Logarithmus negativ) erwartet.

Die Ergebnisse der Simulation der Wasserfallkurven ist in Abb. 1 zu sehen.

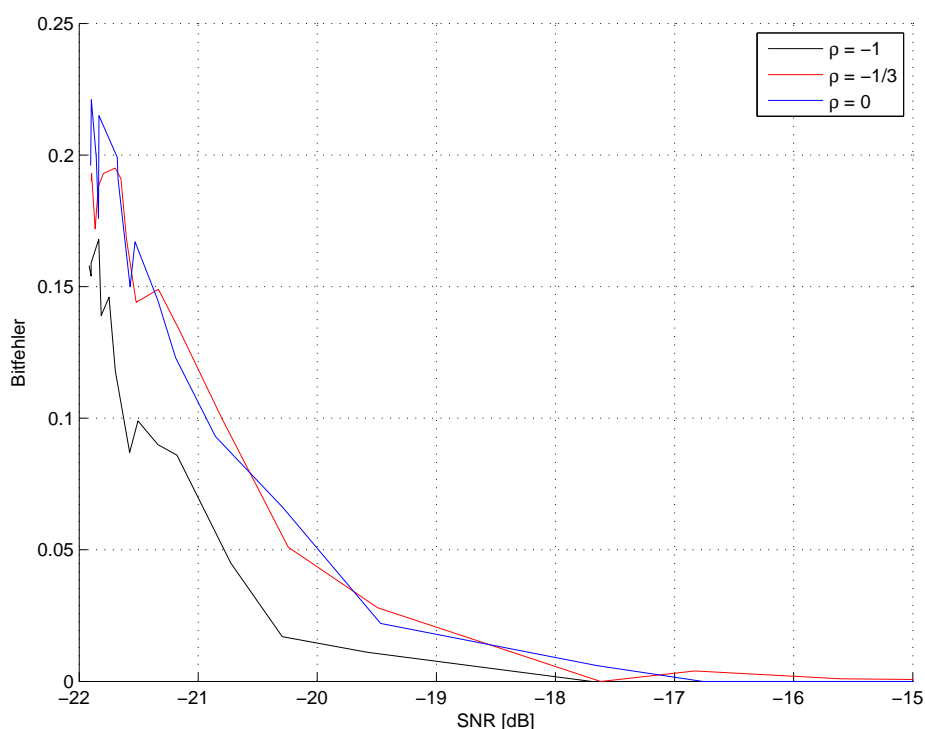


Abb. 1: simulierte Wasserfallkurven

$$\rho_{01} = \frac{1}{E_b} \int_0^{T_{Bit}} s_0(t) \cdot s_1(t) dt^1 \quad (1)$$

$$SNR_E = \frac{4E_b}{N_0} (1 - \rho_{01})^2 \quad (2)$$

<sup>1</sup> Prof. Dr.-Ing. Sikora, Thomas, Foliensatz 10 Binäre Basisbandübertragung, Einführung in die Nachrichtenübertragung, S.159

<sup>2</sup> Prof. Dr.-Ing. Sikora, Thomas, Foliensatz 10 Binäre Basisbandübertragung, Einführung in die Nachrichtenübertragung, S.160

Theoretisch würde man also wegen des Faktors  $(1 - \rho_{01})$  für  $\rho_{01} = 0$  in Formel 1 das kleinste SNR und damit den höchsten Bitfehler erwarten. Dies ist in Abb. 1 aber kaum zu sehen.  $\rho_{01} = 0$  und  $\rho_{01} = -1/3$  liegen nahezu aufeinander. Dies erklärt sich durch die höhere Bitenergie. Da für die Sendeform bei  $\rho_{01} = 0$  4 Baud nötig sind (4 Baud heißt in diesem Fall ein Bit besteht aus vier Zeichen, entweder -1 oder 1), ergibt sich nach Formel 1 ein  $E_b$  von 4 statt von 3 für  $\rho_{01} = -1/3$  und  $\rho_{01} = -1$ . Das  $E_b$  verbessert wiederum das SNR in Formel 1 und damit verringert es auch die Bitfehlerwahrscheinlichkeit. Damit ist das Ergebnis plausibel und wie erwartet.

$$E_b = \int_{-\infty}^{\infty} s(t)^2 dt^3 \quad (3)$$

$$p_{Bit} = \frac{1}{2} \operatorname{erfc} \sqrt{\frac{E_b}{2N_0(1 - \rho_{01})}}^4 \quad (4)$$

An Formel 1 kann man zusätzlich erkennen, dass die Signalform bei der Übertragung mit SAF, also ob z. B. Rechteck, Dreieck, oder Cosinus keinen Einfluss auf die Bitfehlerwahrscheinlichkeit hat.

## 2 Labordurchführung

### 2.1 Encoderkennlinie

Um die Bitfehlerrate messen zu können, werden die D/A-Box, das PCM-DECODER-Modul, die ADDER-Module, das Picoscope und der NOISE GENERATOR benötigt. Der oberste Ausgang (rot) der D/A-Box, der das Datensignal enthält, wird auf das erste ADDER-Modul gegeben, dass keine Verstärkungsmöglichkeit enthält und mit einem Offset aus dem VARIABLE DC-Modul addiert. Anschließend wird das Ergebnis auf das zweite ADDER-Modul geführt, wo es mit dem Verstärkungsregler auf eine Amplitude von -1..1 gedämpft wird.

Der 3. Ausgang von unten der D/A-Box (gelb) enthält die PCM codierten Datenworte. Diese werden auf den Eingang PCM DATA des PCM DECODER-Moduls gegeben.

Der 2. Ausgang von unten enthält das Rahmensignal, welches mit dem Gegenstück des PCM-DECODER-Moduls verbunden wird.

Der unterste Ausgang (blau) gibt das Clock Signal aus. Dieses wird mit einem T-Stück zum einen an den Eingang B des Picoscope und zum anderen an den CLK Eingang des PCM DECODER-Moduls des Picoscope geschlossen.

Zuletzt wird der OUTPUT des PCM-Decoder Moduls (Spannung des Faktors zur Verstärkung bzw. Dämpfung des Rauschens) auf einen Multiplizierer gegeben und mit -6 dB multipliziert. Der Ausgang des Multiplizierers wird auf den zweiten Eingang des zweiten ADDER-Moduls gegeben.

Der Ausgang dieses ADDER-Moduls wird auf den A Eingang des Picoscopes gegeben. Der Kanal und die Empfängerseite sind im Blockschaltbild 2 zu sehen.

---

<sup>3</sup> Prof. Dr.-Ing. Sikora, Thomas, Foliensatz 10 Binäre Basisbandübertragung, Einführung in die Nachrichtenübertragung, S.129

<sup>4</sup> Prof. Dr.-Ing. Sikora, Thomas, Foliensatz 10 Binäre Basisbandübertragung, Einführung in die Nachrichtenübertragung, S.161

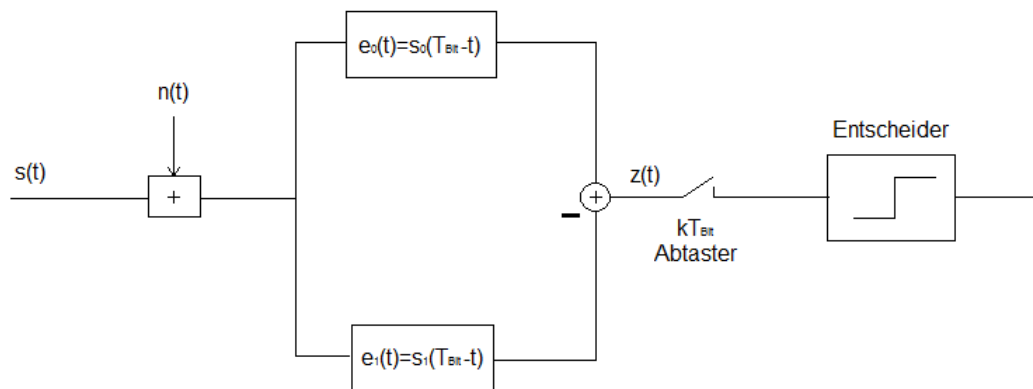


Abb. 2: Kanal plus SAF

### 3 Auswertung & Theorie

#### 3.1 Wasserfallkurve

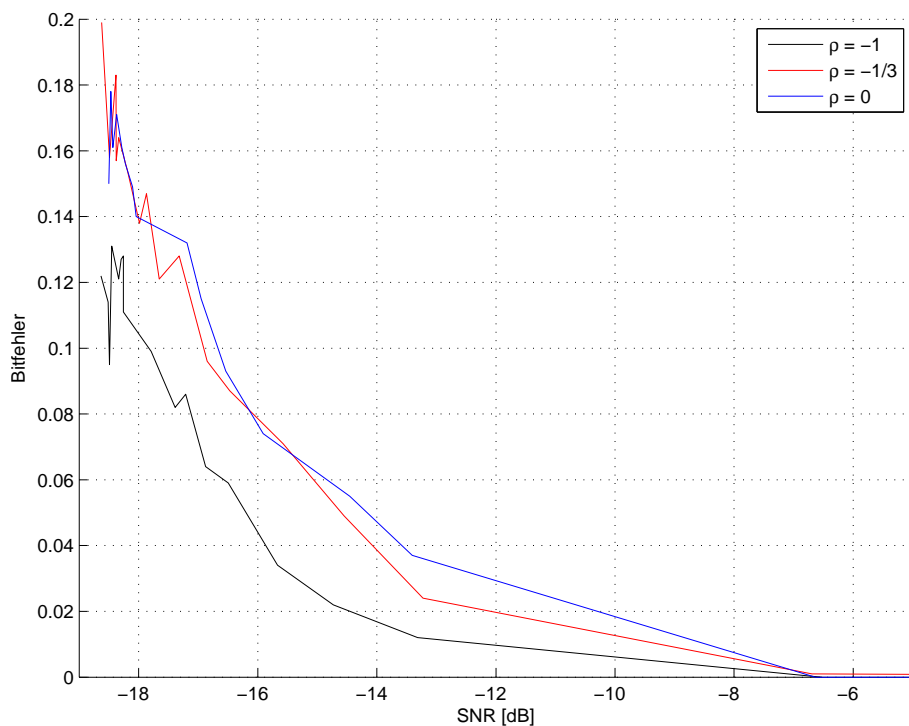


Abb. 3: gemessene Wasserfallkurven

Die gemessenen Wasserfallkurven sind mit den simulierten nahezu identisch. Der selbe Effekt, der schon in den Vorbereitungsaufgaben erklärt wurde, tritt hier wieder auf.

In beiden Fällen treten Bitfehler größer null erst für ein SNR kleiner null auf, dass

heißt wenn die Rauschleistung größer als die Signalleistung wird. Auffällig ist allerdings, dass der Anstieg der durchschnittlichen Bitfehler in der Simulation erst deutlich später beginnt, als bei den gemessenen Werten. **TODO:**

**Der Kanal in der Simulation ist also weniger stör anfällig.**

Der Bitfehler zeigt für kleiner werdendes SNR einen exponentiellen Anstieg, muss Theoretisch aber bei 1 sein Maximum erreicht haben, wenn alle Bits fehlerhaft übertragen wurden.

## 4 Zusammenfassung

Es hat sich in diesem Versuch gezeigt, dass die Bitfehlerwahrscheinlichkeit bei der Übertragung mit Hilfe eines SAF deutlich von der Sendeform abhängt. Dabei ist eine Sendeform mit einer normierten Kreuzkorrelation zwischen den Sendeimpulsen von -1 zu bevorzugen. Interessant ist hingegen, dass bei der Übertragung mit speziellen Sendeformen die Signalfom auf die Bitfehlerwahrscheinlichkeit keinen Einfluss hat.

Mit Hilfe von Wasserfallkurven lassen sich also Übertragungskanäle in Bezug auf ihre Fehleranfälligkeit charakterisieren.

## **Literatur**

- [1] Prof. Dr.-Ing. Sikora, Thomas; Prof. Dr.-Ing. Noll, Peter: Einführung in die Nachrichtenübertragung, 2010
- [2] Dipl.-Ing. Tok, Michael/Esche,Marko, M.Sc./Dr.-Ing. Krutz, Andreas: Unterlagen zum Praktikum Nachrichtenübertragung (SS 2012), Termin 6